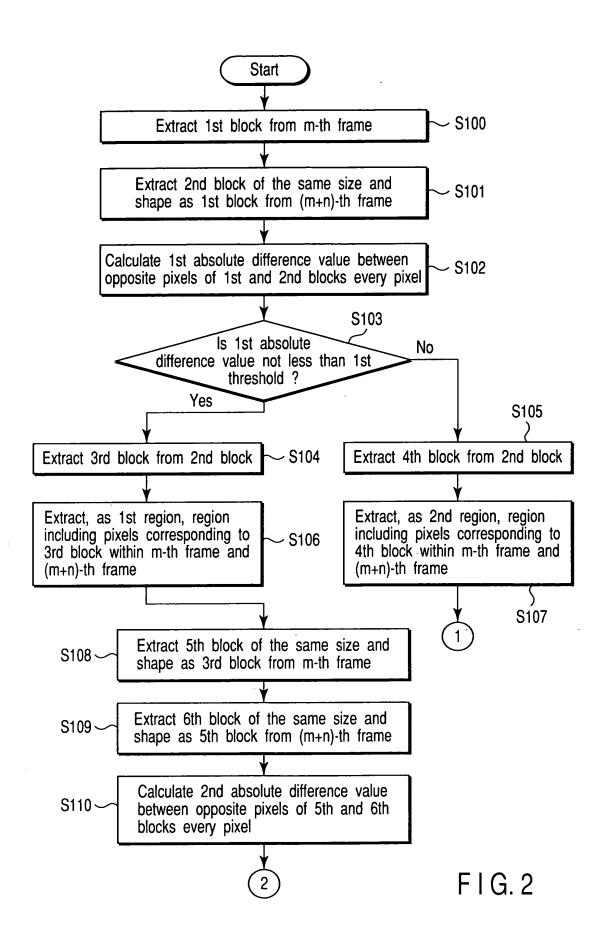
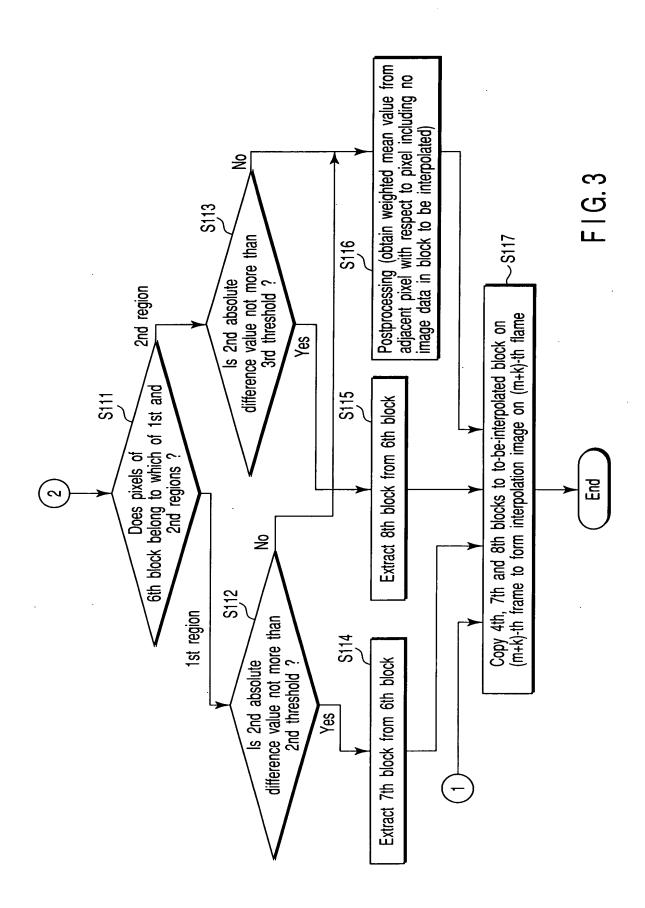
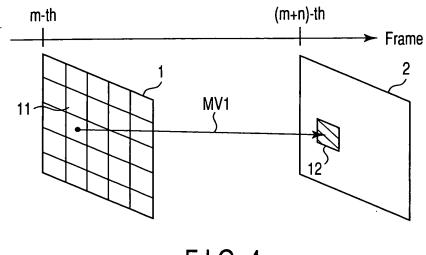


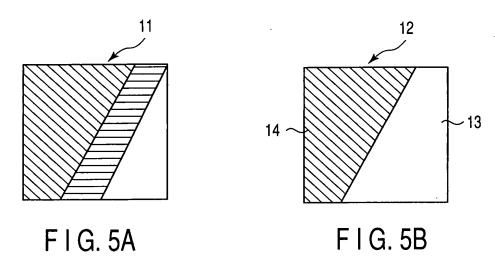
F I G. 1

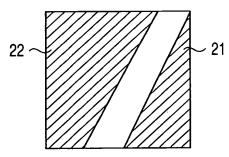




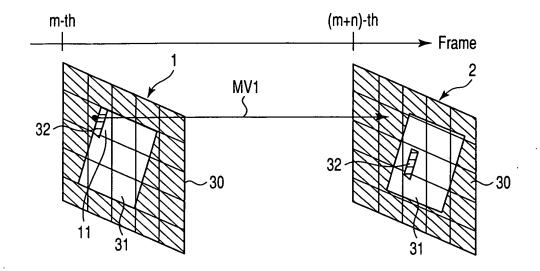


F I G. 4

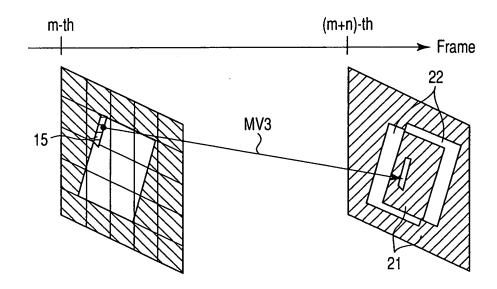




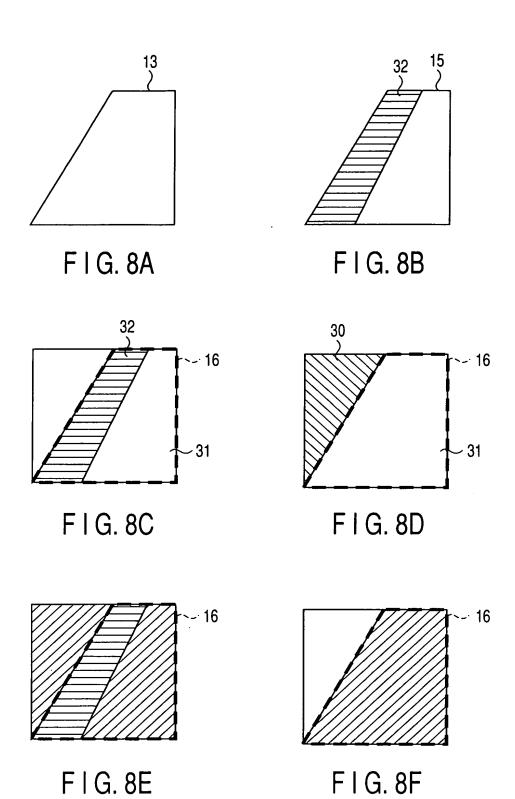
F I G. 5C

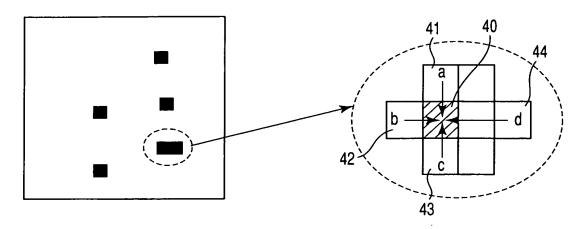


F I G. 6

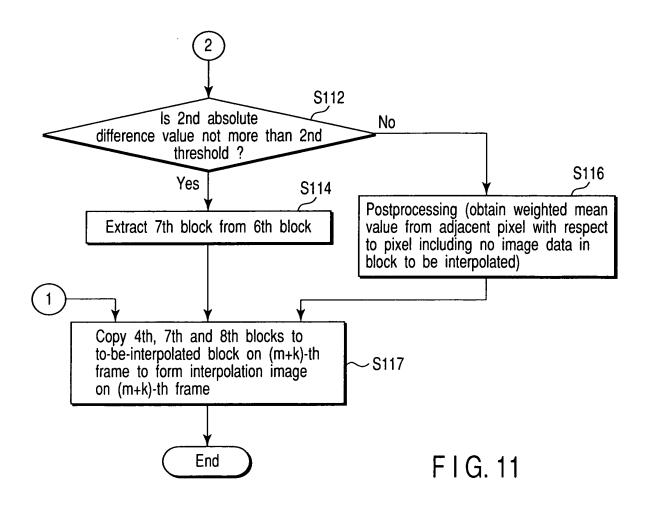


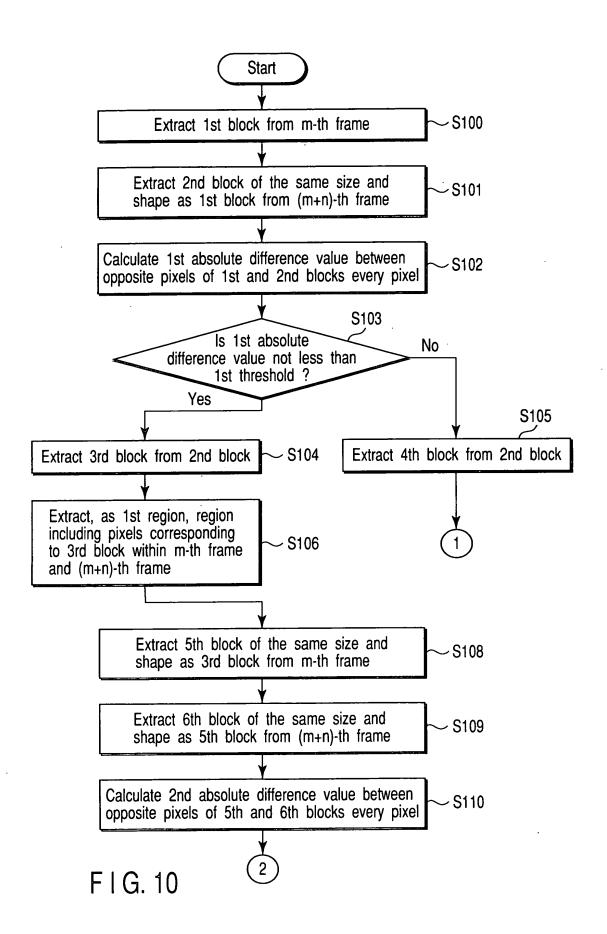
F I G. 7

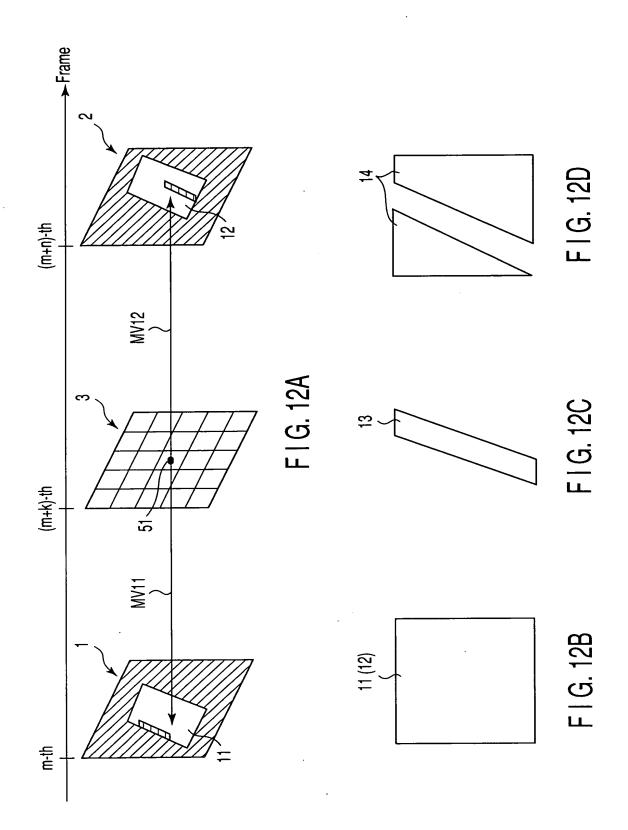


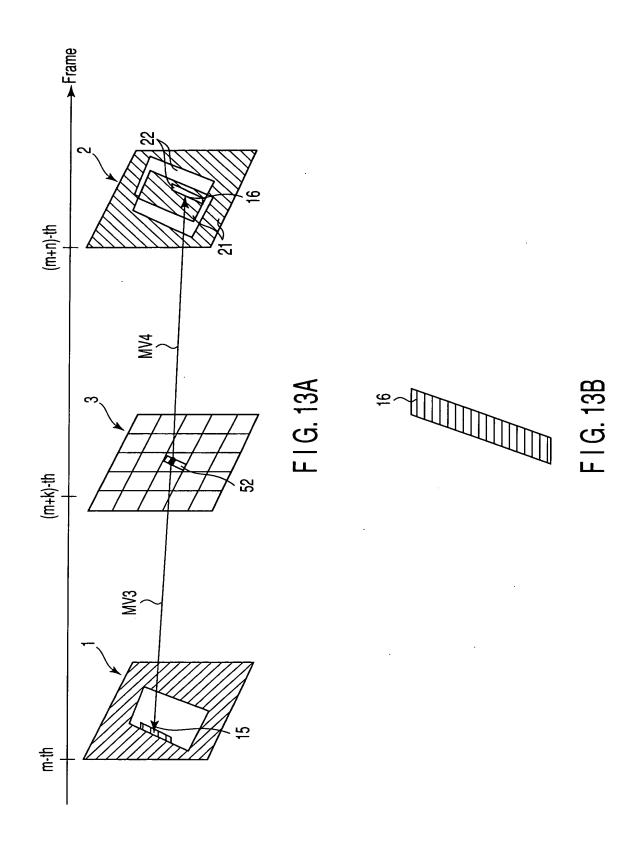


F I G. 9









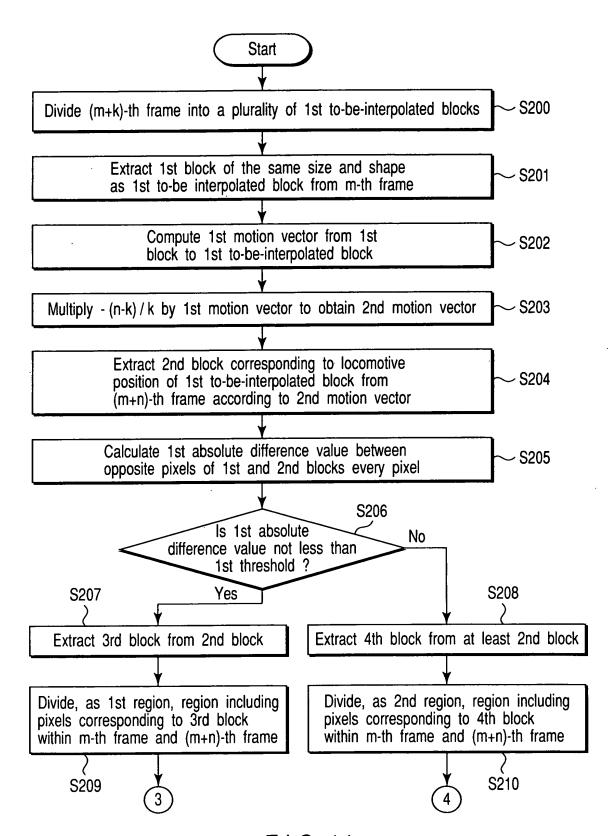
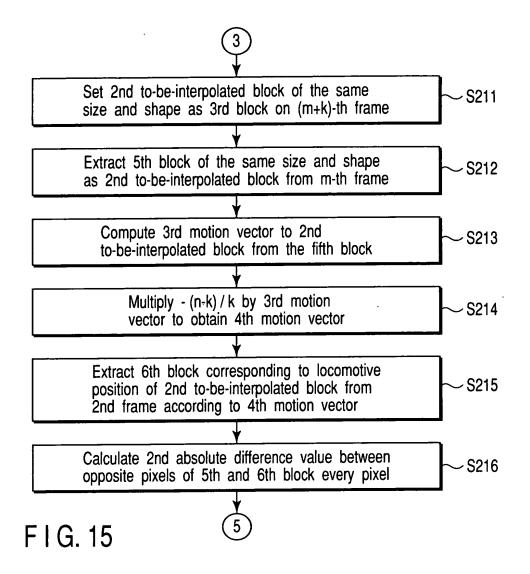
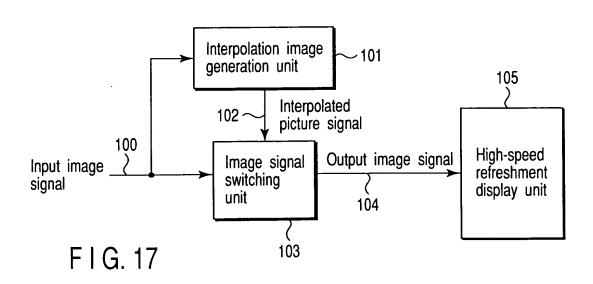
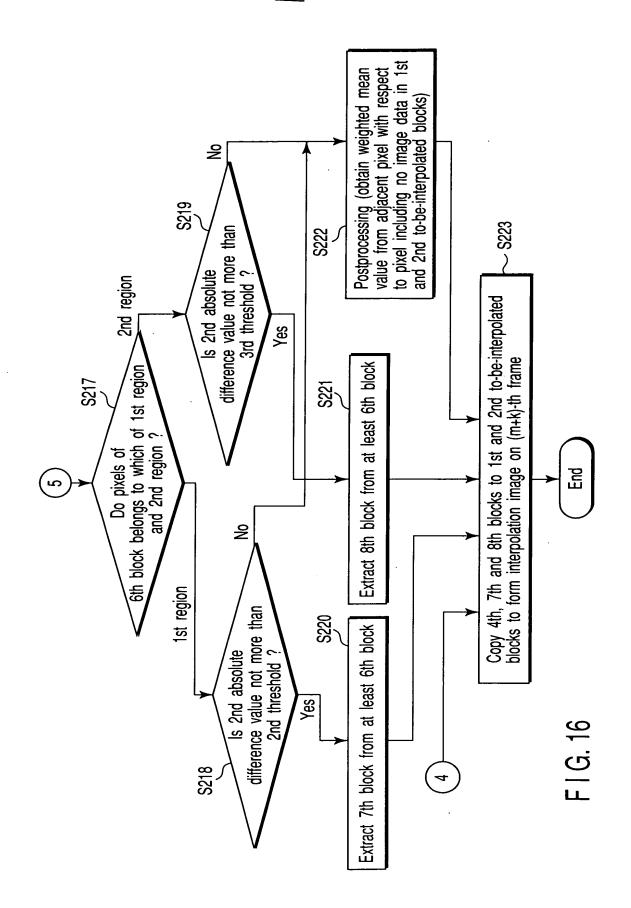


FIG. 14







OBLON, SPIVAK, ET AL DOCKET #: 250908US2SRD INV: Goh ITOH, et al. SHEET 14 OF 17

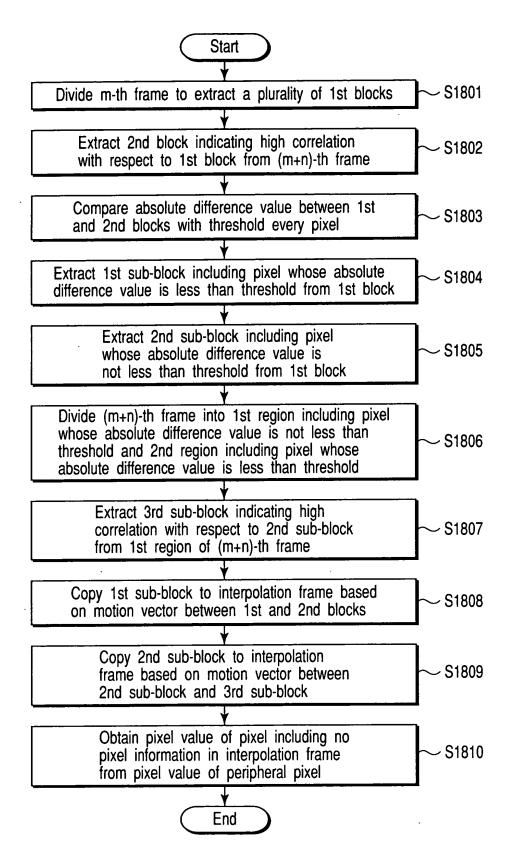


FIG. 18

OBLON, SPIVAK, ET AL DOCKET #: 250908US2SRD INV: Goh ITOH, et al. SHEET 15 OF 17

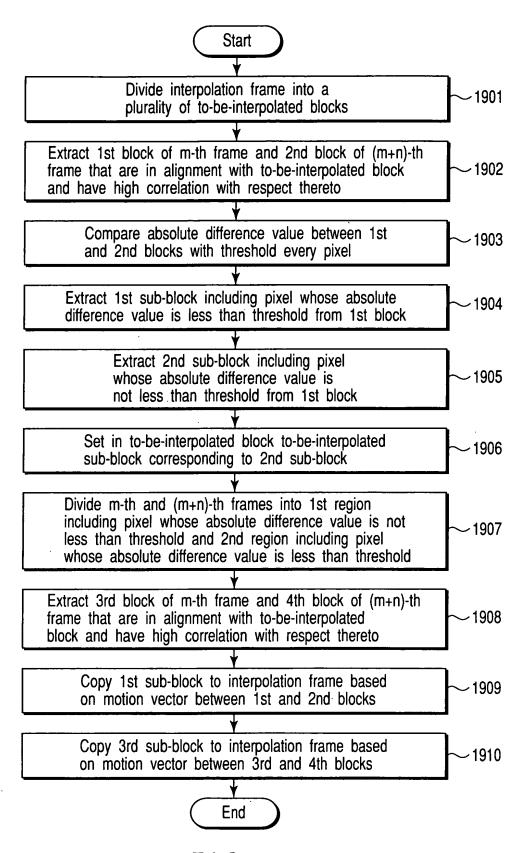


FIG. 19

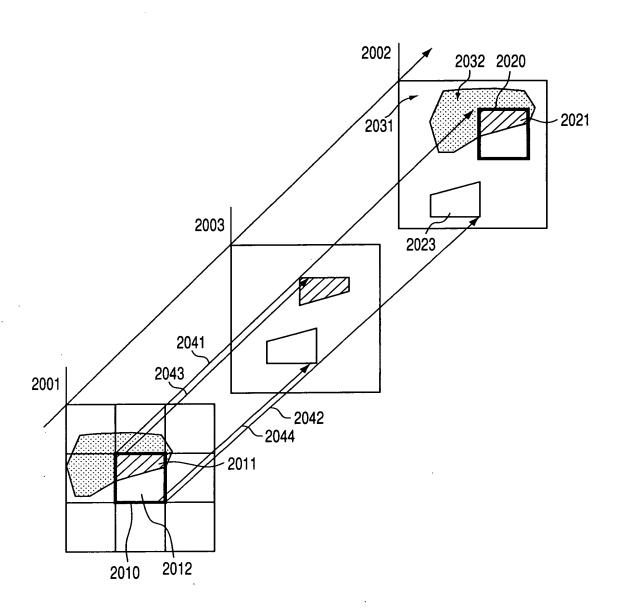
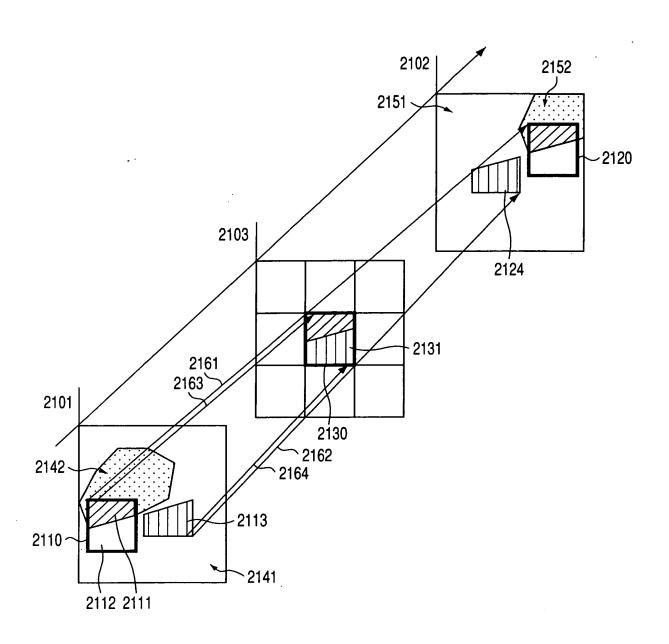


FIG. 20



F I G. 21